

II-31 流水路弯曲流の水理学的特性に関する研究 (第6回)

— 单一弯曲流の内部機構 —

京大防災研究所 正員 ○村本嘉雄

建設省近畿地建 正員 井上高之

1. はじめに 従来、流水路弯曲流の内部機構を解析するのには主として実験的方法と理論的方法と三次元境界層理論による方法の大別があります。しかし、三次元の解析法は通常、流れ方向と一樣の場合の解析が難しく、二次流れが発生、渦連追跡法を用いた弯曲流の挙動を論じたものは少く、一方、三次元を行子、三次元計算法を用いた弯曲流の実験的研究は多く、極めて近傍を除いて粘性限界影響は慣性力に比べて極めて小さく、渦動粘性係数補正法も理論的方法と有効な考え方である。現在、弯曲部流入点において、直角、直角、旋渦等が完全に発達し、水面の連続性が場合が多く、二次流れは発生初期以上で、下層程度で大きくなる、2、境界層による現象が推進される。したがって、弯曲の流水路弯曲流ではThompsonの概念からも推察されるように、弯曲部流の二次流れが発生する前提として主流の鉛直方向の速度分布が必要であるため、発生、渦連追跡法は粘性抵抗より慣性力が主導となる考え方である。

本報告では、こうした考え方を検討するための二種の单一弯曲部における流速、流向測定値から三次元速度成分の流れ方向への変化を求め、それに基づいて二次流れの発生域、渦連域、完全渦連域(一様域)と定義し、各領域の特性を明確にする。土手は、発生域以上で速度分布が一定とする摩擦係数を用いて、既報(第2回、第4回)で述べた一様域以上の角検討を行った。

2. 温度の変化と領域区分 異なる用いた水路は長方形断面のコンクリート製水路($\eta=0.013$)で、その平面形状および寸法を図1に示す。主流の流速測定は中7mmのPrandtl型の管を行子、二次の流速は中10mmの改良型球形の管を行子とした。測定条件は $R_c = 75\text{cm}$, 150cm 、場合 $\lambda = 10\%$ sec, 最大方数 0.57である。2、弯曲部における高城の存在による流れである。

温度計測は弯曲部を30°間隔で各測定位置にて中心線付近。測定不確定度約±2%以内、全断面($125\text{cm} \times 5\text{cm}$)のうち $|R_c - r| \leq 15\text{cm}$, $z = 2.8\text{cm} \sim 3.8\text{cm}$ の長方形断面12×3.8cm²で、2、弯曲部の $\alpha(\theta, r, z)$ 方向の速度成分 $\bar{v} = \frac{\partial w}{\partial r} - \frac{\partial u}{\partial z}$, $\bar{w} = \frac{\partial u}{\partial z} - \frac{\partial v}{\partial R}$, $\bar{u} = \frac{\partial v}{\partial R} - \frac{1}{R} \frac{\partial p}{\partial r}(ur)$ を流速測定値と重心流速値との差で求めた結果を図2、図3の(a)に示す。各端点成分の流れ方向の変化は二段階で若干の速度差は約30%，2段階の平均と差値と傾向が示される。

(i) 3は上流の方向をもと、流入量より第一次增加部分、 $\theta = 60^\circ$ で最大となり、減少する。

(ii) 2は外岸の方向をもと、 $\theta = 30^\circ$ で直線部と同心度を保ち、以下、次第に減少する。

(iii) 3は鉛直下方向をもと、 $\theta = 30^\circ \sim 60^\circ$ 付近まで0%、以下、次第に減少する。

以上の特性は一実験例であることを基にした弯曲部の壁面近傍を除く断面流の水流

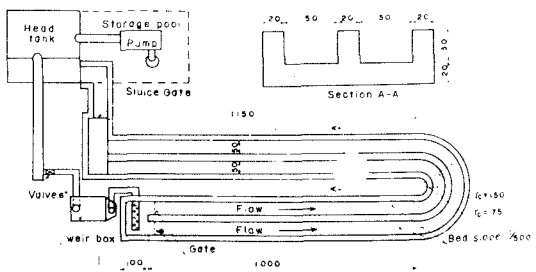


図1 実験水路 (cm単位)

の内部構造に関する一般的な特性を把握する上では役立つ。いま、図2、図3は計算された各温度成分の特性と单纯化した表示を示す、図4-(a)のようになり、各山丘模型の結果と図4-(b)のようになる長方形山丘の結果である。ただし、 η 、弯曲部の流れは図4-(a)の結果と山の温度の变化によらず、I; 一次元回転流域、II; 三次元回転流域、III; 一次元回転流域の三つの領域に分けた上で示す。一方、山丘の二次流れが発達過程の段階を、I; 発生域、II; 発達域、III; 完全発達域(一様域)と名付けて、その特性を述べて以下のように整理する。

(I) 発生域では $\eta = \eta_s$ (直線流の温度)、 $\zeta = 0$ であるから、上述直線部の温度が二次元(θ, r)のPotential 流れによって変形し、二次流れの発生する領域となる。

(II) 発達域では二次流れの影響による減りゆきの減少、 ζ 、発生過程と同時に主流の変化が二次流れの影響により減少する相互干渉の変化領域となる。

(III) 一様域は主流と二次流れの相互干渉が無く、 η は直線で上に凸である、 ζ が山丘表面を離れて山丘を下る。したがって、I、II領域では非圧縮性回転流となり、上部部とせん断応力の支配的な下部部が分離する、三次元境界層理論によると解析的近似的な適用性をもつと考えられる。

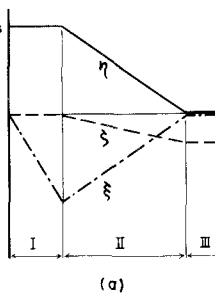


図2 温度の変化

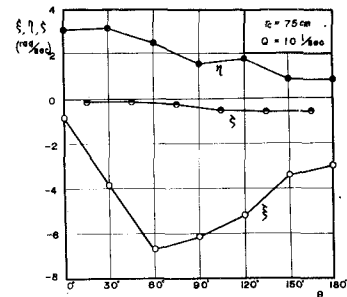


図3 温度の変化

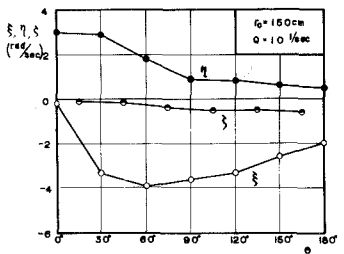


図4 温度変化の模型図と領域区分

3. 発生域の検討 著理化された特性から発生域における温度分布を算出される。流線論によれば、Squire and Winter²⁾およびHawthorne³⁾によると、翼列の二次流れ速度は一般性を取る扱いが最も適切である。これは、円筒座標系を用いて近似的取り扱いをする。流速ベクトル u 、温度ベクトル θ と通常流れ方向 u と θ の関係式は

$$\text{rot}(\mathbf{u} \times \mathbf{u}) = (\partial u / \partial r) \mathbf{u} - (\partial u / \partial \theta) \mathbf{u} = 0 \quad (1)$$

と表わされ、円筒座標系を用いて流れ方向 θ の成分は(1)式は

$$(\frac{\partial}{\partial \theta} + r\frac{\partial}{\partial r} + r\frac{\partial}{\partial z}) \frac{u}{r} - (u\frac{\partial}{\partial \theta} + ru\frac{\partial}{\partial r} + rw\frac{\partial}{\partial z}) \frac{\zeta}{r} = 0 \quad (2)$$

となる。ここで、前述の取り扱いは壁面近傍で降伏流れの断面形状が单一温度の流れ方向の変化を示すとする、 $\partial \zeta / \partial z = 0$ 、 $\partial \zeta / \partial r = 0$ である、したがって、発生域の特性は $\zeta = 0$ である。したがって、(2)式は $r^2 \partial \zeta / \partial r = 0$ と表わされる。

$$u \frac{\partial}{\partial \theta} \left(\frac{\zeta}{r} \right) - \zeta \frac{\partial}{\partial \theta} \left(\frac{u}{r} \right) = r \eta \frac{\partial}{\partial r} \left(\frac{u}{r} \right) \quad \text{or} \quad u^2 \frac{\partial}{\partial \theta} \left(\frac{\zeta}{u} \right) = r \eta \frac{\partial}{\partial r} \left(\frac{u}{r} \right) \quad (3)$$

上式より ξ を求めるには、弯曲部の境界条件を考慮した Potential 流の分布を求むねばならないが、一般的な複数表示法で“主手”の ξ 、並びに η は

$$U_r = \text{const}, \quad \frac{\partial U}{\partial r} = 0 \quad (4)$$

自由端 $r = R$ の分布を考へる。 $\eta = 0$ 、物理的特性 $\gamma = 7s$ とい、弯曲部流入条件を $R = 0$ 、 $\xi = \xi_s$ とすと、(3)式は

$$\xi = \xi_s - \frac{1}{2} \eta_s \theta \quad (5)$$

である。すなわち、流入直線部の端度が 0° のときの場合、 ξ は θ に比例し、直線的増加する形の曲線となる。

以上の考察結果、前節の ξ の実験値と比較すると、 $r_c = 75, 150 \text{ cm}$ の場合は図 5 とよく一致する。これより(3)式の曲線は $U(r, \theta, \xi)$ の実験値を用いて逐次計算されたものである。この ξ の図から明らかに発生域では(4)式の仮定を用いた(5)式によると、 ξ の变化を表すことができる。しかし、範囲域特性はこうして逐次的に取り扱われるよ、と示されている。

4. 一様域の構造と接続 図 4-(A) に示した一様域(A)は理想的な状態であ、2、通常の流れ路弯曲流では図 2、図 3 のように弯曲部流出条件近くでも範囲域があることは一様域の遮断領域以下の場合が多いことをうなづく。このようす範囲域の特性は範囲域、拡張部解析とも限り把握できないが、2 つは既報で述べた一様域上部の取り扱い、適合性について検討される。

基礎式として、 θ 方向の変化を無視し、二次流れ成分 v と半径方向の流速 U とを考慮した運動方程式(Euler 方程)と連続式、

$$\frac{V}{r} \frac{\partial}{\partial r}(UR) = 2g \quad (6) \quad V \frac{\partial V}{\partial r} - \frac{U^2}{r} + mg - \frac{1}{r} \frac{\partial P}{\partial r} \quad (7) \quad 0 = gn - \frac{1}{r} \frac{\partial P}{\partial z} \quad (8) \quad 2, 3 \text{ で } \frac{1}{r} \frac{\partial}{\partial r}(rV) = 0 \quad (9)$$

を用いる。 $z = r^\theta$ 、 l 、 m 、 n は θ 方向 X 、 Y 、 Z 方向の重力の方向余弦である。既報の取り扱い $\theta = 0$ 、 $l = 1$ 、 $m = 0$ 、 $n = -1$ である。 z 、 $\xi = 0$ 、 $U = 0$ 、 $V = 0$ 、 $P = \text{const}$ 、 $\gamma = 7s$ と考へたが、本実験流れ路のように複屈曲 (r_c, R_c) を流入、流出直線部に接続する弯曲部では、水流中心 $r = r_c$ における θ 方向の路本 U が 0 である。この場合、 U は r_c で 0 、 $r > r_c$ で $U = \text{const}$ である。また、 $V = 0$ で $U = \frac{R_c}{r_c} \dot{\theta} \ll 1$ と $\xi_s = n = -1$ とすると、(6)～(9)式が満足される。

$$V = \frac{C_1}{r} \quad (10) \quad U = \frac{g \dot{\theta} C_1}{2 C_2} r + \frac{C_2}{r} \quad (11) \quad h = -\frac{C_1^2 + C_2^2}{2 g} \frac{1}{r^2} + \frac{g \dot{\theta}^2 C_1^2}{8 C_1^2} r^2 + \frac{C_1 \dot{\theta} C_2}{C_1} \ln r + C_3 \quad (12)$$

$z = r^\theta$ 、 C_1, C_2, C_3 は積分定数である。既報(1964)の仮定 $h_c = \bar{h}$ を用いて 3 式、 $C_1 + C_2$ の関係式

$$C_1 C_2 = -4g \dot{\theta}^2 C_1^2 C_2^2 \left(\frac{1}{r_c^2} - \frac{1}{4} \right) \left\{ -K \pm \sqrt{K^2 + \frac{1}{192 \dot{\theta}^2 (r_c^2 - 1/4)}} \right\} \quad (13)$$

$$\dot{\theta} = \frac{C_1}{r_c}, \quad K = \ln \left\{ \frac{1}{r_c} \left(\frac{r_c^2 + \frac{1}{2}}{r_c^2 - \frac{1}{2}} \right)^{\frac{1}{2}} \sqrt{\frac{r_c^2}{r_c^2 - \frac{1}{4}}} \right\} - 1, \quad r_c' = \frac{r_c}{B}$$

である。 (13)式の根号は $C_1, C_2 \geq 0$ に対するもの、一様域の常数 $U > 0$ 、 $V > 0$ の条件を用いて χ 、

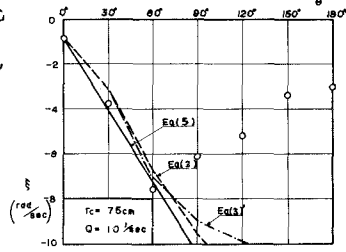


図 5 ξ (deg/sec)

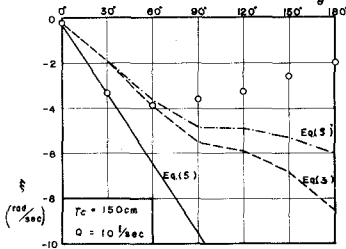


図 6 ξ (deg/sec)

上符号式を満足する。 $C_1, C_2 > 0$ の場合について、Uの変化を検討すると

$$\frac{dU}{dr} \geq 0 ; \quad r' \geq \sqrt{8r_c^2(r_c^2 - \frac{1}{4})} \left\{ K + \sqrt{K^2 + \frac{1}{192r_c^2(r_c^2 - 1/4)}} \right\} \quad (14)$$

とす。すなはち、 $r' = r_c / B$ かつ $|r' - r_c'| \leq \frac{1}{2}$ である。また、水面の曲率 d^2h/dr^2 は C_1, C_2 の符号に因縁で常に正である。(14)式の関係を国示すと図7のようになり、全域 $dU/dr \geq 0$ の限界は $r'_c = 1.12$ である。一方、Uの分布形はつづいて、弯曲部端半 ($\theta = 90^\circ \sim 180^\circ$) の実験値と比較すると、 $r_c = 75, 150 \text{ cm}$ の場合につづいてそれらを(図8、図9)のようである。これらの図に理論曲線はつまゝ各丸を表す。

(11)式と(13)式(正符号)より求めたU分布式

$$\frac{U}{U_c} = \frac{4r_c^2(r_c^2 - \frac{1}{4}) \left\{ K + \sqrt{K^2 + \frac{1}{192r_c^2(r_c^2 - 1/4)}} \right\} \frac{1}{r'} + \frac{r'_c}{2}}{4r'_c(r_c^2 - \frac{1}{4}) \left\{ K + \sqrt{K^2 + \frac{1}{192r_c^2(r_c^2 - 1/4)}} \right\} + \frac{r'_c}{2}} \quad (15)$$

既報、摘要12と3 U分布式 (304、10)式)

$$\frac{U}{U_c} = \frac{r'^2 + r'_c \sqrt{(r_c^2 + 1/4)(r_c^2 - 1/4)} - r'_c}{r_c^3 + r'_c \sqrt{(r_c^2 + 1/4)(r_c^2 - 1/4)}} - \frac{r'_c}{r'} \quad (16)$$

自由端とUとのU分布式

$$U/U_c = r'_c/r' \quad (17)$$

強制端とUとのU分布式

$$U/U_c = r'/r'_c \quad (18)$$

$r_c = 75 \text{ cm}$ の場合は $\theta = 180^\circ$ 附近、 $r_c = 150 \text{ cm}$ の場合は $\theta = 120^\circ \sim 180^\circ$ の強制近傍で降下はほぼ一様の分布式(15)式と近似されることが示される。また、本実験の流量範囲 $Q = 5 \sim 30 \text{ l/sec}$ では一様である。範囲によれば分布形は差違が認められるが、たゞ

今、(15)式は r'_c 増加とともに式(18)式と近似され、 \rightarrow これが(18)式と一致する。また、(16)式は $r'_c > 15$ で $\frac{U}{U_c} = \frac{1}{2} \left(1 + \frac{r'_c}{r'} \right)$ と近似される。

5. 結論 以上、单一弯曲流の内部機構と領域区分、力学理象を説明したが、境界条件から水理条件と領域別に存在する、壁面近傍特性、壁面近傍特性を明確化するものである。特徴、壁面近傍の解剖学は上空の方向と壁面理筋入射方向の相対的平衡の主要な因子である。

参考文献

Squire & Winter : J. Aero. Sci. 18-4 (1951)

Hawthorne : Proc. Roy. Soc. of London S.A Vol. 206 (1951)

林木・石田 : 東大防災研年報 7号 (1964)

林木・井上 : " 8号 (1965)

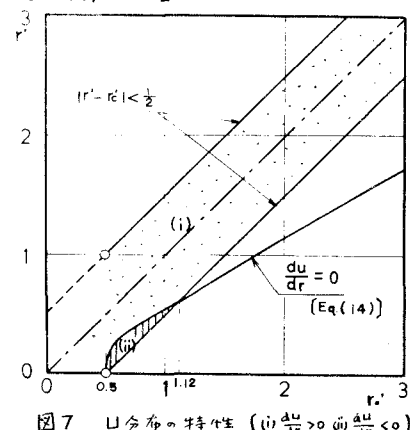


図7 U分布の特性 (i) $\frac{du}{dr} > 0$, (ii) $\frac{du}{dr} < 0$

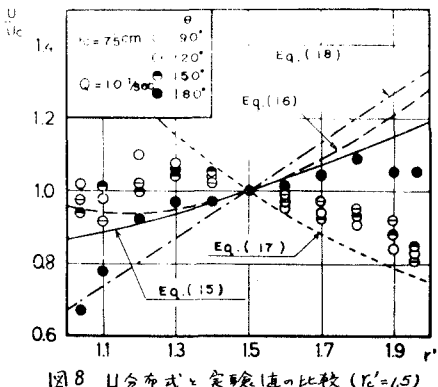


図8 U分布式と実験値の比較 ($r'_c = 1.5$)

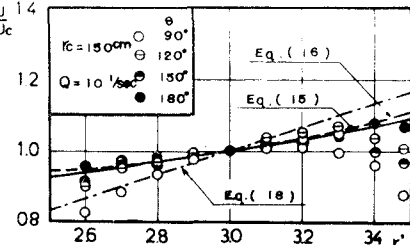


図9 U分布式と実験値の比較 ($r'_c = 3$)